

統合（メタアナリシス）出来るように成形

(1)c-US

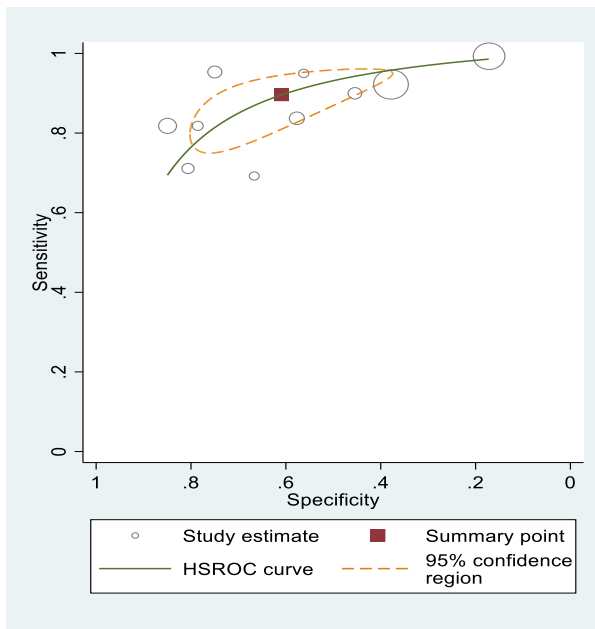
文献管理番号	筆頭筆者	TP	FP	FN	TN
P1-c-US	Cheng 2020	45	17	10	96
P2-c-US	Pan 2020	19	14	1	18
P4-c-US	Shao 2020	261	220	22	134
P13-c-US	Miyamoto 2013	29.3	34.7	5.7	47.3
P15-c-US	Du 2012	27	6	6	22
P18-c-US	Zhao 2009	32	6	13	25
P20-c-US	Liu 2008	41	15	2	45
P21-c-US	Ricci 2006	18	8	8	16
P32-c-US	Zhang 2015	18	42	2	35
c-US	Xiao 2016	289	193	2	40

(2)CEUS

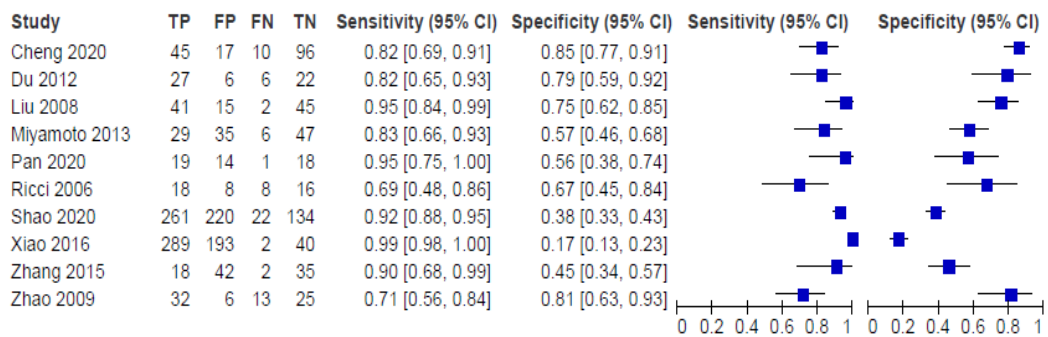
文献管理番号	筆頭筆者	TP	FP	FN	TN
P1-CEUS	Cheng 2020	54	11	1	102
P2 -CEUS	Pan 2020	19	10	1	22
P4-CEUS	Shao 2020	277	104	6	250
P13-CEUS	Miyamoto 2013	32	12	3	70
P15-CEUS	Du 2012	25	5	8	23
P18-CEUS	Zhao 2009	39	1	6	30
P20-CEUS	Liu 2008	41	7	2	53
P21-CEUS	Ricci 2006	26	3	0	21
P32-CEUS	Zhang 2015	16	13	4	64
CEUS	Xiao 2016	289	183	2	50

統合（メタアナリシス）結果 (1)c-US

	点推定値	95%信頼区間
感度	89.6	81.1-94.5
特異度	60.9	45.4-74.5
診断オッズ比	13.4	8.3-21.5
陽性尤度比	2.3	1.6-3.2
陰性尤度比	0.17	0.11-0.27

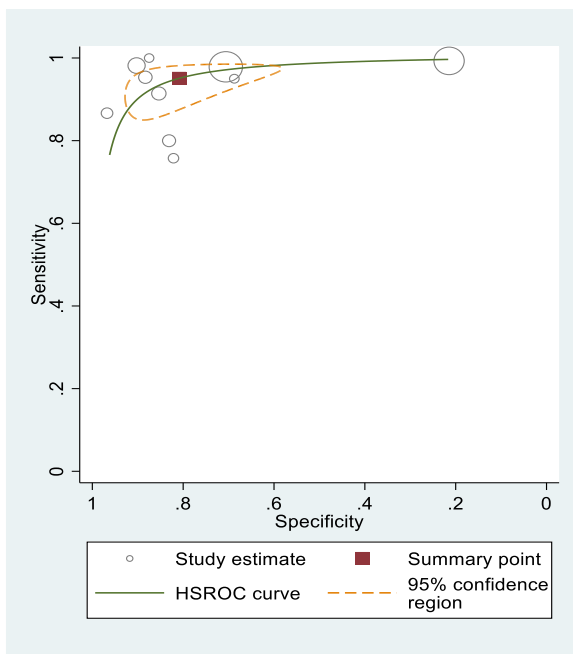


Forest PLOT



統合（メタアナリシス）結果 (2)CEUS

	点推定値	95%信頼区間
感度	95.1	89.6-97.7
特異度	80.9	67.1-89.8
診断オッズ比	81.8	39.7-168.6
陽性尤度比	5.0	2.8-8.8
陰性尤度比	0.06	0.03-0.12



Forest PLOT

